

но находить распределения Γ , ξ , ψ на $n + 1$ -м слое. При решении разностного уравнения для ψ проводились дополнительные итерации. Границные условия первого рода аппроксимировали явно, граничные условия второго рода, согласно [7], исходя из выражения

$$\Gamma[i, 1] = \Gamma[i, 0] + \frac{\partial \Gamma}{\partial z} \Big|_{i, 0} h_z + \frac{\partial^2 \Gamma}{\partial z^2} \Big|_{i, 0} \frac{h_z^2}{2}.$$

Значение второй производной находится непосредственно из уравнения для Γ , распространенного на границу. При решении задачи в центральной области использовалась сетка 40×40 , равномерная по z и неравномерная по r . Закон изменения шага по r задавался следующим образом:

$$r[i] = h_r[0] \frac{(1 + \alpha)^i - 1}{\alpha} \text{ или } h_r[i + 1] = (1 + \alpha) h_r[i].$$

Для представленных расчетов $\alpha = 0,024$.

Автор выражает благодарность М. А. Гольдштику за внимание к работе.

Поступила 26 X 1976

ЛИТЕРАТУРА

1. Гринспен Х. Теория вращающихся жидкостей. Л., Гидрометеоиздат, 1975.
2. Гольдштик М. А. Приближенное решение задачи о ламинарном закрученном потоке в круглой трубе.—«Инж.-физ. журн.», 1959, т. 1, № 3.
3. Будунов Н. Ф. Исследование отрывных и закрученных течений несжимаемой жидкости в каналах переменного сечения. Автореф. на соиск. учен. степени канд. техн. наук. Новосибирск, Ин-т гидродинамики СО АН СССР, 1973.
4. Гольдштик М. А., Зыкин Г. И., Петухов Ю. И., Сорокин В. Н. Об определении радиуса воздушного вихря в центробежной форсунке.—ПМТФ, 1969, № 4.
5. Бэтчелор Дж. Введение в динамику жидкости. М., «Мир», 1973.
6. Гольдштик М. А. К теории эффекта Ранка (закрученный поток газа в вихревой камере).—«Изв. АН СССР. Мех. и машиностроение», 1963, № 1.
7. Болдырева З. В., Кускова Т. В. К вопросу об обтекании сферы вязкой несжимаемой жидкостью.—В кн.: Численные методы в механике сплошных сред. Вып. 15. М., изд. ВЦ Моск. ун-та, 1970.

УДК 534.222.2

ВТОРИЧНЫЕ ТЕЧЕНИЯ ВОЗЛЕ ЦИЛИНДРА В СЛОЖНОМ ЗВУКОВОМ ПОЛЕ

B. B. Repin

(Казань)

Известно, что при наличии звукового поля возле твердой поверхности появляются стационарные течения, которые могут в значительной степени влиять на процессы тепло- и массообмена [1—3]. Как правило, все работы из этой области относятся к тому случаю, когда звуковое поле можно представить в виде одной волны. Однако на практике часто встречаются ситуации, когда зву-

ковое поле является сложным, т. е. состоит из нескольких колебаний, амплитуды и частоты которых в общем случае различны.

В данной работе исследуются вторичные стационарные течения, образующиеся возле круглого цилиндра, помещенного в сложное звуковое поле.

Пусть на круглый цилиндр радиуса R набегает n плоских волн со следующими параметрами: A_n — амплитуда скорости акустического смещения в n -й волне, ω_n — частота, a_n — точка набегания волны на цилиндр, φ_n — фаза волны. Рассмотрим случай, когда радиус цилиндра существенно меньше длины волны, тогда течение возле цилиндра можно рассматривать как несжимаемое.

Уравнение Навье — Стокса, описывающее движение вязкой несжимаемой жидкости, имеет вид

$$(1) \quad \frac{\partial}{\partial t} (\nabla^2 \psi) - \varepsilon \frac{\partial(\psi, \nabla^2 \psi)}{\partial(\theta, r)} = \frac{1}{2} H^2 \nabla^4 \psi,$$

где $\nabla^2 = \frac{\partial^2}{\partial r^2} + \frac{1}{1+r} \frac{\partial}{\partial r} + \frac{1}{(1+r)^2} \frac{\partial^2}{\partial \theta^2}$; $\partial(\psi, \nabla^2 \psi)/\partial(\theta, r)$ — определитель Якоби; $\varepsilon = s_1/R$; $H = \delta_{ак}/R$; $\delta_{ак} = (2v/\omega_1)^{1/2}$; s_1 — амплитуда акустического смещения в первой волне. Функция тока ψ определяется как

$$(2) \quad u = \partial \psi / \partial r, \quad v = -1/(1+r) \cdot \partial \psi / \partial \theta.$$

Границные условия имеют вид

$$(3) \quad \psi = \partial \psi / \partial r = 0 \text{ при } r = 0;$$

$$\psi = (1+r) \sum_{k=1}^n B_k \sin(\theta - a_k) e^{i(b_k^2 t + \varphi_k)} \text{ при } r \rightarrow \infty,$$

где $B_k = A_k/A_1$, $b_k = (\omega_k/\omega_1)^{1/2}$.

Уравнения (1)–(3) записаны в следующих безразмерных переменных:

$$(4) \quad r = (\bar{r} - R)/R, \quad \psi = \bar{\psi}/A_1 R, \quad t = \bar{t}\omega_1.$$

Рассмотрим случай, когда выполняются следующие условия:

$$(5) \quad \varepsilon \ll 1;$$

$$(6) \quad H \ll 1.$$

Задачу будем решать, используя метод сращиваемых асимптотических разложений [4, 5]. Всю область, занятую жидкостью, разобьем на две: внутреннюю (с характерным размером $\delta_{ак}$ в перпендикулярном к поверхности цилиндра направлении) и внешнюю (с характерным размером R). Внешние переменные определены выражением (4), а внутренние запишутся в виде

$$(7) \quad \eta = (\bar{r} - R)/\delta_{ак}, \quad m = \bar{\psi}/A_1 \delta_{ак}, \quad t = \bar{t}\omega_1.$$

Связь между внутренними и внешними переменными имеет вид

$$(8) \quad r = H\eta, \quad \psi = Hm,$$

где η и r отсчитываются от поверхности цилиндра, а θ — от точки набегания первой волны (A_1).

Рассмотрим внешнюю область. Ввиду условия (5) решение будем искать методом последовательных приближений

$$(9) \quad \psi = \psi^{(0)} + \varepsilon \psi^{(1)} + O(\varepsilon^2).$$

Подставив (9) в (1) и собрав члены при одинаковых степенях ε , получим

$$(10) \quad \frac{\partial}{\partial t} (\nabla^2 \psi^{(0)}) = \frac{1}{2} H^2 \nabla^4 \psi^{(0)}, \quad \frac{\partial}{\partial t} (\nabla^2 \psi^{(1)}) - \frac{\partial (\psi^{(0)}, \nabla^2 \psi^{(0)})}{\partial (0, r)} = \frac{1}{2} H^2 \nabla^4 \psi^{(1)}.$$

Хотя уравнения (10) являются линейными, однако их решения, записанные с использованием функций Ханкеля, являются довольно громоздкими, что затрудняет дальнейший анализ. Поэтому, используя условие (6), представим $\psi^{(i)}$ в виде

$$(11) \quad \psi^{(i)} = \psi^{(i0)} + H \psi^{(i1)} + O(H^2), \quad i = 0, 1 \dots$$

Подставив (11) в (10) и собрав члены при одинаковых степенях H , получим

$$(12) \quad \begin{aligned} \frac{\partial}{\partial t} (\nabla^2 \psi^{(00)}) &= 0, \quad \frac{\partial}{\partial t} (\nabla^2 \psi^{(01)}) = 0, \dots \\ \frac{\partial}{\partial t} (\nabla^2 \psi_H^{(10)}) - \left\{ \frac{\partial (\psi^{(00)}, \nabla^2 \psi^{(00)})}{\partial (0, r)} \right\}_H &= 0, \\ \frac{\partial}{\partial t} (\nabla^2 \psi_H^{(11)}) - \left\{ \frac{\partial (\psi^{(00)}, \nabla^2 \psi^{(01)})}{\partial (0, r)} + \frac{\partial (\psi^{(01)}, \nabla^2 \psi^{(00)})}{\partial (0, r)} \right\}_H &= 0, \\ \left\{ \frac{\partial (\psi^{(00)}, \nabla^2 \psi^{(02)})}{\partial (0, r)} + \frac{\partial (\psi^{(01)}, \nabla^2 \psi^{(01)}) + \frac{\partial (\psi^{(02)}, \nabla^2 \psi^{(00)})}{\partial (0, r)} \right\}_{ct} &= \frac{1}{2} \nabla^4 \psi_{ct}^{(10)}. \end{aligned}$$

Используя второе граничное условие (3), можно показать, что функции $\psi^{(0j)}$ не содержат не зависящей от времени составляющей, поэтому уравнения (12) примут вид

$$(13) \quad \begin{aligned} \nabla^2 \psi^{(0j)} &\equiv 0, \quad j = 0, 1, 2 \dots; \\ \frac{\partial}{\partial t} (\nabla^2 \psi_H^{(1j)}) &= 0; \quad \nabla^4 \psi_{ct}^{(10)} = 0, \end{aligned}$$

где $\psi^{(10)} = \psi_{ct}^{(10)}(\theta, r) + \psi_H^{(10)}(\theta, r, t)$.

В дальнейшем для простоты будем рассматривать звуковое поле, состоящее из двух плоских волн. Тогда решения уравнений (13) должны удовлетворять следующим граничным условиям:

$$(14) \quad \psi^{(0j)} = \begin{cases} (1+r) [\sin \theta e^{it} + B \sin(\theta - a) e^{i(bz+ \varphi)}], & j = 0, \\ \text{ограничена,} & j \neq 0, \end{cases}$$

$\psi^{(10)}$ = ограничена при $r \rightarrow \infty$, а при $r \rightarrow 0$ внешнее решение должно асимптотически срациваться с внутренним решением, т. е.

$$(15) \quad \psi(0) \cong H m(\infty).$$

Рассмотрим внутреннюю область. Для этого перепишем уравнение (1) во внутренних переменных (7)

$$(16)$$

$$\frac{\partial}{\partial t} (\nabla^2 m(\eta, \theta, t, H)) - \varepsilon \frac{\partial (m(\eta, \theta, t, H), \nabla^2 m(\eta, \theta, t, H))}{\partial (\theta, \eta)} = \frac{1}{2} \nabla^4 m(\eta, \theta, t, H).$$

Аналогично внешнему решению, решение во внутренней области будем искать в виде ряда

$$(17) \quad m = m^{(00)} + O(H) + \varepsilon [m_{ct}^{(10)} + m_h^{(10)} + O(H)] + O(\varepsilon^2).$$

В работе [5] показано, что разложение типа (11), (17) можно применять только в том случае, когда число Рейнольдса, подсчитанное по скорости стационарного вторичного течения, мало ($Re_{ct} = A^2/\omega v \ll 1$). Случай $Re_{ct} \gg 1$ будет рассмотрен отдельно.

Подставив (17) в (16) и проделав те же операции, что и при выводе уравнений (13), получим

$$(18a) \quad m_{\eta\eta t}^{(00)} - \frac{1}{2} m_{\eta\eta\eta\eta}^{(00)} = 0;$$

$$(18b) \quad m_{ct\eta\eta\eta\eta}^{(10)} = 2 \langle m_\eta^{(00)} m_{\eta\eta\theta}^{(00)} - m_\theta^{(00)} m_{\eta\eta\eta}^{(00)} \rangle.$$

Функции m^{ij} должны удовлетворять граничным условиям

$$(19) \quad m^{(ij)} = \partial m^{(ij)} / \partial \eta = 0 \text{ при } \eta = 0, i, j = 0, 1 \dots$$

и асимптотически срашиваться с внешним решением.

Решения первого уравнения (13) и уравнения (18a), удовлетворяющие условиям (14), (15) и (19), имеют вид

$$(20) \quad \psi^{(00)} = \left[1 + r - \frac{1}{1+r} \right] \operatorname{Real} [\sin \theta \cdot e^{it} + B \sin (\theta - a) \cdot e^{i(b^2 t + \varphi)}];$$

$$(21) \quad m^{(00)} = 2 \operatorname{Real} [\sin \theta \cdot \xi_1(\eta) e^{it} + B b^{-1} \sin (\theta - a) \cdot \xi_1(b\eta) e^{i(b^2 t + \varphi)}]$$

для внешней и внутренней областей соответственно, где

$$\xi_1(\eta) = \eta + \frac{1-i}{2} [e^{-(1+i)\eta} - 1].$$

Прежде чем приступить к отысканию стационарной составляющей функции тока, отметим, что правая часть в уравнении (18b) будет иметь различное аналитическое представление в зависимости от соотношения между частотами колебаний двух волн.

Рассмотрим случай различных частот ($b \neq 1$). Используя (21) и вычислив осредненные члены, уравнение (18b) запишется в виде

$$(22) \quad m_{ct\eta\eta\eta\eta}^{(10)} = 2 \sin 2\theta \cdot f_1(\eta) + 2B^2 b \sin 2(\theta - a) \cdot f_1(b\eta),$$

где

$$(23) \quad f_1(\eta) = e^{-(1+i)\eta} + e^{-(1-i)\eta} + i\eta e^{-(1+i)\eta} - i\eta e^{-(1-i)\eta} - 2e^{-2\eta}.$$

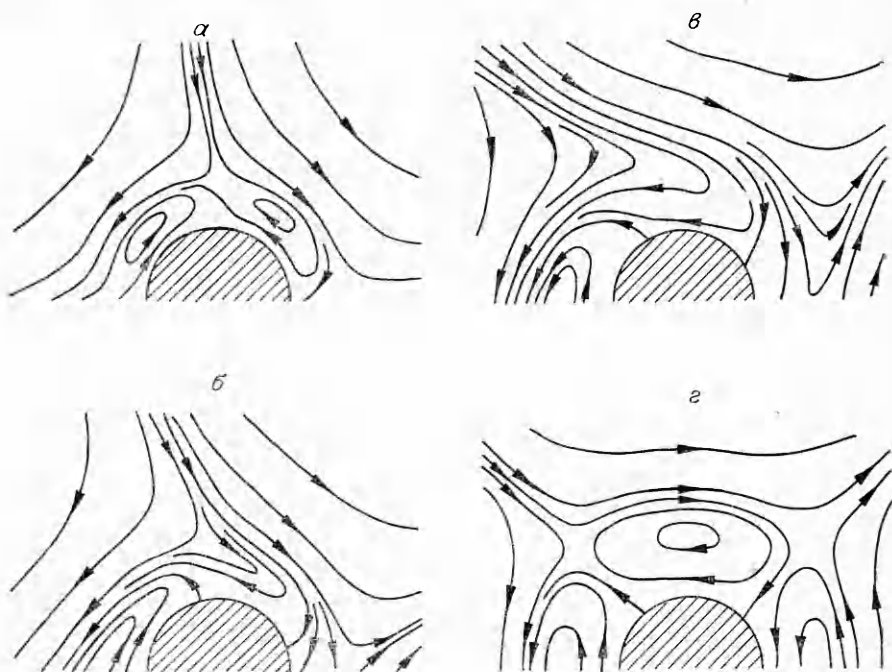
Решения третьего уравнения (13) и уравнения (22), удовлетворяющие условиям (14), (15) и (19), имеют вид

$$(24) \quad m_{ct}^{(10)} = \Phi_1(\eta) \sin 2\theta + B^2 b^{-3} \Phi_1(b\eta) \sin 2(\theta - a);$$

$$(25) \quad \psi_{ct}^{(10)} = \frac{3}{4} \left[\frac{1}{(1+r)^2} - 1 \right] [\sin 2\theta + B^2 b^{-3} \sin 2(\theta - a)]$$

для внутренней и внешней областей соответственно, где

$$(26) \quad \Phi_1(\eta) = \frac{13}{4} - \frac{3}{2}\eta - \frac{3+2i}{2}\varepsilon^{-(1+i)\eta} - \frac{3-2i}{2}\varepsilon^{-(1-i)\eta} + \\ + \frac{i}{2}\eta e^{-(1-i)\eta} - \frac{i}{2}\eta e^{-(1+i)\eta} - \frac{1}{4}e^{-2\eta}.$$



Ф и г. 1

Из выражений (24), (25) следует, что в случае различных частот стационарное течение представляет собой суперпозицию вторичных течений, соответствующих каждому колебанию в отдельности.

На фиг. 1 показаны линии тока стационарного течения во внутренней области при изменении относительной амплитуды B от 0,05 до 10,0 ($\omega_1 = 4\omega_2$, $a = \pi/4$). Видно, что при малых значениях B (фиг. 1, a , $B = 0,05$) стационарное течение определяется первым колебанием и по характеру напоминает течение, описанное Шлихтингом [6]. По мере увеличения амплитуды второго колебания характер течения существенно изменяется. Можно отметить такие ситуации, когда во внутренней области отсутствуют замкнутые линии тока (фиг. 1, b , c , $B = 0,4$ и 0,8). При дальнейшем увеличении B характер стационарного течения определяется параметрами второго колебания (фиг. 1, d , $B = 10,0$).

Таким образом, структура стационарного вторичного течения в рассматриваемом случае является более сложной, нежели в задаче Шлихтинга. Однако можно предсказать характер течения, не прибегая к помощи ЭВМ, а исследуя лишь положение линий ветвления. Под линией ветвления понимается такая линия тока, при пересечении которой тангенциальная составляющая поля скорости стационарного течения меняет знак.

Так, вблизи поверхности, разлагая (24) в ряд Тейлора и ограничившись квадратичным членом, можно получить следующее выражение для определения угловой координаты линии ветвления внутреннего течения (внутренняя линия ветвления):

$$(27) \quad \theta = \frac{1}{2} \operatorname{arctg} \left[\frac{B^2 b^{-1} \sin 2a}{1 + B^2 b^{-1} \cos 2a} \right] + \frac{\pi n}{2}, \quad n = 0, 1, \dots$$

Аналогично из (25) получим соотношение для определения угловой координаты линии ветвления внешнего течения (внешняя линия ветвления)

$$(28) \quad \theta = \frac{1}{2} \operatorname{arctg} \left[\frac{B^2 b^{-2} \sin 2a}{1 + B^2 b^{-2} \cos 2a} \right] + \frac{\pi n}{2}, \quad n = 0, 1, \dots$$

Из сравнения (27) и (28) видно, что внешние и внутренние линии ветвления не совпадают друг с другом, в то время как в задаче Шлихтинга они совпадают. В нашем же случае совпадение внешних и внутренних линий ветвления будет наблюдаться тогда, когда либо $B = 0$ или ∞ , что соответствует простому звуковому полю, либо $a = \pi n/2$. Следовательно, при таких параметрах структура течения будет такая же, как в работе [6]. Отметим, что картина стационарного течения повторяется через $\pi/2$.

Рассмотрим случай одинаковых частот ($b = 1$). Тогда уравнение (186) запишется в виде

$$(29) \quad m_{ct}^{(10)} = 2L(\theta) f_1(\eta) + 4B \sin a \cdot \sin \varphi \cdot f_2(\eta),$$

где

$$(30) \quad L(\theta) = \sin 2\theta + B^2 \sin 2(\theta - a) + 2B \sin(2\theta - a) \cdot \cos \varphi;$$

$f_2(\eta) = 2e^{-2\eta} - e^{-(1+i)\eta} - e^{-(1-i)\eta} + \eta e^{-1(1+i)\eta} + \eta e^{-(1-i)\eta}$, а $f_1(\eta)$ определено выражением (23).

Решения третьего уравнения (13) и уравнения (29), удовлетворяющие условиям (14), (15) и (19), имеют вид

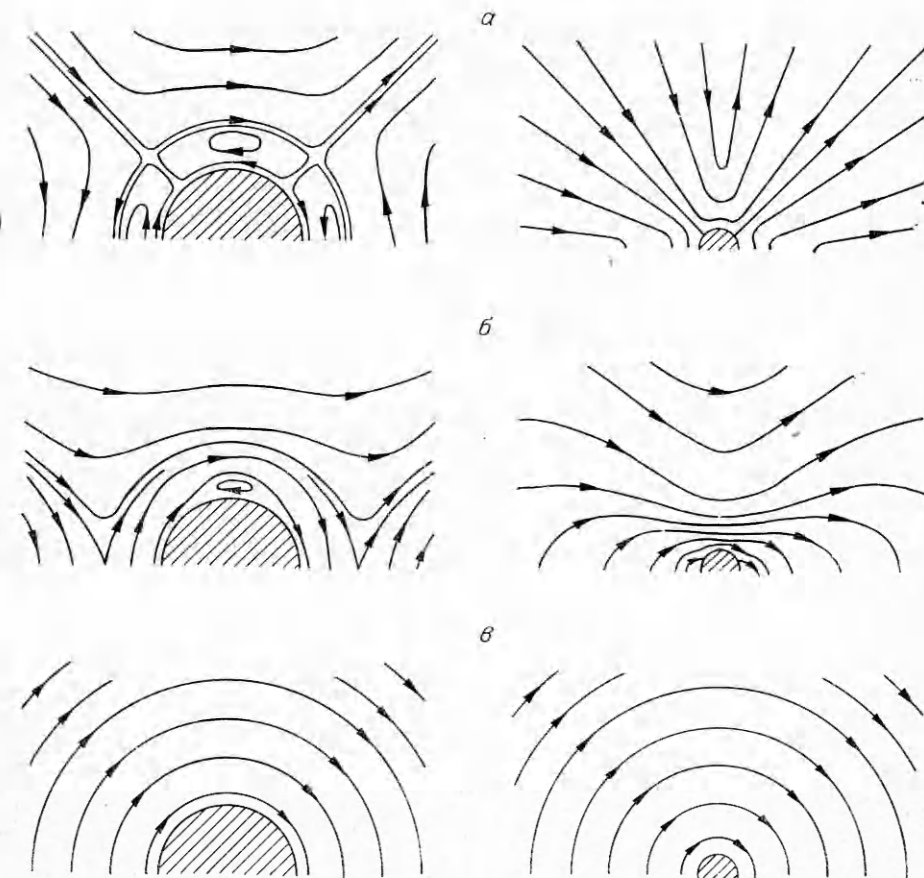
$$(31) \quad m_{ct}^{(10)} = L(\theta) \Phi_1(\eta) + B \sin a \cdot \sin \varphi \cdot \Phi_2(\eta);$$

$$(32) \quad \Psi_{ct}^{(10)} = \frac{3}{4} \left[\frac{1}{(1+r)^2} - 1 \right] \cdot L(\theta) - 3B \ln(1+r) \cdot \sin a \cdot \sin \varphi,$$

где $\Phi_1(\eta) = \frac{3}{2} - 3\eta - (1-2i)e^{-(1+i)\eta} - (1+2i)e^{-(1-i)\eta} - \eta e^{-(1+i)\eta} - \eta e^{-(1-i)\eta} + \frac{1}{2}e^{-2\eta}$, а $\Phi_1(\eta)$ и $L(\theta)$ определены выражениями (26), (30) соответственно.

Таким образом, в случае одинаковых частот суперпозиция стационарных течений не наблюдается, поскольку в выражениях (31), (32) появляется вклад, обусловленный нелинейным взаимодействием двух колебаний во внутренней области.

На фиг. 2 показаны линии тока стационарного течения во внутренней (слева) и внешней (справа) областях при изменении разности фаз φ между двумя колебаниями ($\omega_1 = \omega_2$, $a = \pi/2$, $A_1 = A_2$). Видно, что когда колебания происходят в фазе $\varphi = 0$ (фиг. 2, a), то характер течения как во внешней, так и во внутренней области полностью совпадает с течением Шлихтинга [6]. В дальнейшем (по мере увеличения φ) картина качественно меняется: во внутренней области боковые вихри удаляются от поверхности цилиндра и уменьшаются в размерах вплоть до полного исчезновения (фиг. 2, б, $\varphi = \pi/6$); верхний вихрь также уменьшается в размерах, но прижимается к поверхности цилиндра. Во внешней же области появляются два замкнутых вихря, размер которых по мере увеличения φ уменьшается, при этом во внешней и внутренней областях развивается крупномасштабное циркулирующее течение. Заметим, что при $\varphi = 90^\circ$ (фиг. 2, в) полученная картина по характеру совпадает с течением, описанным Лонге — Хиггинсом [7], который рассмотрел этот частный случай для объяснения аномальных океанических течений, образующихся возле



Ф и г. 2

изолированных островов. В работе [8] показано, что характер течения Лонге — Хиггинса не зависит от числа $Re_{ст}$ и является своеобразным аналогом течения Пуазейля.

Определим положение линий ветвления. Повторив аналогичные вычисления, что и при выводе уравнений (27), (28), получим

$$(33) \quad \theta = \frac{1}{2} \arcsin \left(\pm \frac{E}{C} \cos \gamma \right) + \frac{\gamma}{2} + \pi n,$$

где плюс относится к внутренней линии ветвления, а минус — к внешней и где

$$E = B \sin \varphi \cdot \sin a; \quad C = \frac{1}{2} + B \cos \varphi \cdot \cos a + \frac{1}{2} B^2 \cos 2a;$$

$$\gamma = \operatorname{arctg} \frac{D}{C} + \pi n; \quad D = B \cos \varphi \cdot \sin a + \frac{1}{2} B \sin 2a.$$

Из выражения (33) следует, что картина течения повторяется через π . Кроме того, как внутренние, так и внешние линии ветвления чередуются не через $\pi/2$, как это наблюдается для случая различных частот, а их пространственное разделение зависит от параметров, характеризующих сложное звуковое поле. Заметим, что могут реализоваться такие ситуации, ког-

да внешние и внутренние линии ветвления совпадают: $B = 0$ или ∞ , что соответствует простому звуковому полю; $a = \pi n$, т. е. линии распространения двух волн совпадают; $\varphi = \pi n$, т. е. колебания происходят либо в фазе, либо в противофазе. Следовательно, в этих случаях характер течения полностью совпадает с течением Шлихтинга [6]. Следует также отметить, что если $|E/C \cos \gamma| > 1$, то не существует никаких линий ветвления и стационарное течение представляет собой крупномасштабную циркуляцию (течение такого типа показано на фиг. 2, в). Однако если $B = 1$, $a = \pi$, $\varphi = 0$, то стационарное течение отсутствует. Физически это оправдано, так как указанный случай соответствует расположению цилиндра в узле скорости стоячей волны.

Поскольку в случае одинаковых частот вблизи цилиндра появляется крупномасштабное циркулирующее течение, то на цилиндр действует стационарный момент сил, который определяется в виде

$$M = 4\pi\mu R(L/\Delta_{ak})(A_1 A_2 / \omega) \sin a \cdot \sin \varphi.$$

Можно убедиться, что стационарный момент сил будет равен нулю в том случае, когда сложное звуковое поле сводится к простому, т. е. к задаче Шлихтинга [6]. В случае же $\omega_1 \neq \omega_2$, как показали вычисления, на цилиндр не действует никакая стационарная сила.

Приведенные выше результаты записаны в переменных Эйлера. Однако экспериментальное исследование вторичных течений, как правило, проводят с использованием меченых частиц (метод треков), поведение которых описывается в переменных Лагранжа. Если для стационарного течения описания Эйлера и Лагранжа дают идентичные результаты, то при нестационарном движении они различаются, т. е. линии тока (переменные Эйлера) не совпадают с траекториями частиц (переменные Лагранжа). В работе [9] показано, что траектория частиц связана с линией тока вторичного течения соотношением

$$\psi_{ct}^L \mathbf{k} = \psi_{ct}^3 \mathbf{k} + F \mathbf{k},$$

где

$$F \mathbf{k} = -\frac{1}{2} \left\langle \left(\int_0^t \mathbf{u}_H^3 dt \right) \times \mathbf{u}_H^3 \right\rangle;$$

\mathbf{u}_H^3 — пульсационная скорость в переменных Эйлера; \mathbf{k} — единичный вектор в направлении z .

В случае различных частот, используя выражения (20), (21), получим

$$(34) \quad F = O(H); \quad F = -\frac{1}{2} \sin 2\theta \cdot \Phi_3(\eta) - \frac{1}{2} B^2 b^{-3} \sin 2(\theta - a) \cdot \Phi_3(b\eta) + O(H)$$

во внешней и внутренней областях соответственно, где

$$(35) \quad \Phi_3(\eta) = 1 + e^{-2\eta} - e^{-(1+i)\eta} - e^{-(1-i)\eta} - i\eta e^{-(1+i)\eta} + i\eta e^{-(1-i)\eta}.$$

Из первого выражения (34) следует, что во внешней области линии тока и траектории частиц совпадают с точностью до членов порядка $O(H)$, что согласуется со случаем простого звукового поля [9].

В случае одинаковых частот получим

$$\begin{aligned} F &= -\frac{1}{2} B \left[1 - \frac{1}{(1+r)^4} \right] \sin \varphi \cdot \sin a + O(H), \\ F &= -\frac{1}{2} L(\theta) \Phi_3(\eta) - \frac{1}{2} B \sin \varphi \cdot \sin a \cdot \Phi_4(\eta) + O(H) \end{aligned}$$

для внешней и внутренней областей соответственно, где $\Phi_3(\eta)$ и $L(\theta)$ определяются выражениями (35), (30), а

$$\Phi_4(\eta) = 2 - 4\eta + 2e^{-2\eta} - 2e^{-(1+i)\eta} - 2e^{-(1-i)\eta} + 2\eta e^{-(1+i)\eta} - 2\eta e^{-(1-i)\eta}.$$

Таким образом, в случае одинаковых частот линии тока и траектории частиц уже не совпадают во внешней области. Однако, как показали дополнительные расчеты на ЭВМ, характер течения в переменных Лагранжа не отличается существенно от описания Эйлера как в случае одинаковых, так и различных частот.

Приведенные выше результаты получены в предположении малости числа Рейнольдса, подсчитанного по скорости вторичных течений. При $Re_{ct} \geq 1$ уравнение, описывающее стационарное течение во внешней области, имеет вид [5]

$$(36) \quad \frac{\partial (\Psi_{ct}, \nabla^2 \Psi_{ct})}{\partial (\theta, r)} = \frac{1}{Re_{ct}} \nabla^4 \Psi_{ct}.$$

Стационарное течение во внутренней области по-прежнему описывается уравнением (18б). Видно, что хотя во внутренней области в случае различных частот осуществляется суперпозиция вторичных течений, присущих каждому колебанию, однако во внешней области при $Re_{ct} \geq 1$ в силу нелинейности уравнения (36) суперпозиция не имеет места.

В заключение отметим, что суперпозиция вторичных течений как внутренних, так и внешних не будет выполняться в членах высшего порядка (например, $O(\varepsilon^3)$) независимо от величины Re_{ct} и от соотношения между частотами.

Автор выражает благодарность В. А. Мурге и И. И. Тюрлику за вычисления на ЭВМ.

Поступила 15 XI 1976

ЛИТЕРАТУРА

- Накоряков В. Е., Бурдуков А. П., Болдарев А. М., Терлеев П. Н. Тепло-и массообмен в звуковом поле. Новосибирск, изд. Ин-та теплофизики СО АН СССР, 1970.
- Физическая акустика. Т. 2. Ч. Б. М., «Мир», 1969.
- Физика и техника мощного ультразвука. Т. З. М., «Наука», 1970.
- Коул Дж. Методы возмущений в прикладной математике. М., «Мир», 1972.
- Riley N. Oscillatory viscous flows. Review and extension.—«J. Inst. Math. and Applics.», 1967, vol. 3, p. 419—434.
- Шлихтинг Г. Теория пограничного слоя. М., «Наука», 1974.
- Longuet M. S.— Higgins Steady current induced by oscillations round islands.—«J. Fluid. Mech.», 1970, vol. 42, p. 701—720.
- Riley N. Stirring of a viscous fluid.— ZAMP, 1971, vol. 22, p. 645—653.
- Raney W. P., Corely J. C., Westervelt P. J. Acoustical streaming in the vicinity of a cylinder.—«J. Acoust. Soc. Amer.», 1954, vol. 26, N 6, p. 1006—1014.